

Spécification d'histogrammes dans le cas de zones constantes

Pierre Dubreuil, Thomas Eboli

December 28, 2016

Abstract

Dans ce rapport, nous allons présenter nos résultats au sujet d'application de la spécification d'histogrammes au traitement des images. Nous nous sommes appuyé sur le code fourni par madame Nikolova ainsi que sur le papier de base. La première étape du travail, en amont de tout bout de code a été de comprendre les enjeux soulevés par le papier et d'appréhender la puissance du speed-up de la phase "d'ordering" dans le problème de la spécification d'histogrammes. L'un des principaux problèmes que nous avons cherché à résoudre est la présence de "large pixels" dans les images obtenues après spécification. Notre méthode de résolution repose sur des considérations probabilistes d'un histogramme comme la distribution de probabilité d'une variable aléatoire X qui est ici l'image.

Ce document est organisé comme suit: la partie 1 est dédiée à présenter le problème de "large pixels" et d'en comprendre la source. La partie 2 présente notre première approche pour résoudre le problème ainsi que les résultats obtenus. La partie 3 s'intéressera à des méthodes de dithering plus récentes et plus efficaces pour résoudre des problèmes de quantifications de palette de couleur comme l'algorithme d'Atkinson.

Présentation du problème de "large pixels"

Lors de l'application de l'algorithme donné, on s'aperçoit que les images font apparaître des détails que l'on ne veut pas. La figure 1 illustre à merveille ce phénomène qui découle de la mauvaise quantification de la palette de couleurs dans la nouvelle configurations de bits de couleurs. En effet les figures 2 et 3 montrent que la spécification d'histogramme, lorsque l'histogramme cible est très différent de l'original, déplace des pixels d'un certain niveau de couleur vers des régions où il n'y avait pas de pixels pour colorer avec cette teinte. Le résultat est visible sur ces figures; le contraste est beaucoup plus riche et la photographie du port de Malte est moins terne mais on fait apparaître dans le ciel des blocs de pixels blancs. Ces pixels sont le résultat d'une volonté de rendre plus contrastée cette zone de l'image mais l'image originale ne possédant qu'une zone quasi constante de couleurs, la nouvelle allocation arrive à rendre le dégradé souhaité que par de gros tas de pixels, les "large pixels". Il faut donc arriver à trouver une technique permettant de gommer ces détails liés à des zones planes dans les images de départ.

Divers pistes

Dans cette section, nous souhaitons faire part des différentes approches que nous avons entrepris pour résoudre le problème de "large pixel".

Approche par tilling

Une première idée a été de vouloir traiter des bouts d'images indépendamment les uns des autres car le problème est souvent localisé dans certaines zones de l'image. Les approches par tilling et pyramides multi-échelles étant monnaie courante en traitement des image, nous avons voulu l'essayer dans notre problème. Malheureusement, qui dit tilling dit traitement séparé des informations ce qui ne nous arrange pas car nous voulons dispatcher l'ensemble des pixels de l'image et les réorganiser. Le résultat obtenu (sans utiliser d'algorithme type Midway qui aurait permis d'unifier



Figure 1: *Illustration de l'apparition de pixels nuisibles dûs à la ré-allocation de bits dans l'histogramme produisant une mauvaise quantification des couleurs.*



Figure 2: *Image de départ et son équivalent après spécification. On remarque qu'en haut à gauche, il y a des pixels apparents dans le ciel dûs à une mauvaise allocation des couleurs après spécification d'histogramme.*

les couleurs des différentes imagerie) n'est pas convaincant du tout car des zones claires et foncées apparaissent là où on ne veut pas comme on peut le voir dans la figure 4 où les jonctions de chacune des imagerie pose problème. Cette figure a été obtenue avec une approche de type pyramide où chaque quart est la moyenne entre le quart de l'image de niveau 0 et l'imagerie traitée à part au niveau 1 avec son propre histogramme (cf code dans le dossier "tilling").

Résolution par ajout de bruit

Approche probabiliste

La partie précédente met en évidence que le transport d'un histogramme d'une image réelle vers un histogramme cible ne peut se faire complètement ce qui laisse apparaître des défauts dans l'image générée à partir du nouvel histogramme obtenu.

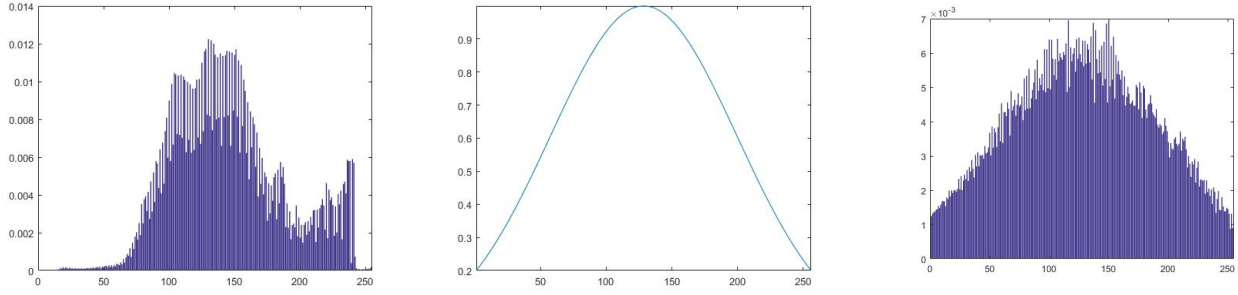


Figure 3: *Gauche: histogramme de départ, Milieu: forme de l'histogramme cible, Droite: histogramme obtenu après application de la spécification par la routine order*

Comme annoncé dans l'introduction, nous sommes partis du constat qu'une image est la réalisation d'une variable aléatoire X vivant dans un espace de très grande dimension (de l'ordre du million en pratique) et que son ou ses histogrammes, selon que X est une image couleur ou en niveau de gris, représentent les distributions de probabilités de chacun des canaux. Dans ce contexte, on peut utiliser un résultat classique de probabilités:

Théorème 1: Soient x et y les réalisations de deux variables aléatoires X et Y de densités respectives f_x et f_y . Alors $x + y$ est aussi une variable aléatoire suivant la loi $X + Y$ et de densité $f_x * f_y$.

Toutes les considérations suivantes seront prises sur des images en niveaux de gris. Pour appliquer les résultats à des images couleurs, il suffit d'appliquer les calculs à chacun des canaux. On considérant maintenant que x est notre image et en notant b le bruit (gaussien, uniforme, peu importe), on obtient que l'image $x_b = x + b$ possède un histogramme qui s'écrit $h_x * h_b$. On peut donc maintenant jouer sur le type de bruit et son écart-type σ pour modifier l'allure de l'histogramme de x et donc modifier en aval le contraste de manière plus fine.

Théoriquement, on arrive alors à moyenner l'histogramme de x . On définit la valeur d'un bin $h_{x_b}(i)$ pour $i \in 0, \dots, 255$ comme une fonction de $h_x(i)$ mais aussi de ses voisins. On force donc l'histogramme avoir des valeurs plus faibles aux endroits où il n'y avait pas de pixels au départ ce qui réduit l'apparition de motifs invisible au début et qui deviennent visibles par la suite. Le choix du type de bruit à appliquer définit donc le type de moyenne qu'on utilise. Par exemple un bruit uniforme appliquera une moyenne classique aux bins de l'histogramme de x .

Résultats

Méthodes de dithering plus récentes

L'idée d'ajouter du bruit à l'image pour casser ces zones constantes n'est pas nouvelle et date du milieu des années 50. Entre temps, le domaine de la quantification des palettes de couleurs a connu un grand intérêt avec l'arrivée des écrans couleurs. La trame de Bayer est l'un des exemples les plus connus, permettant de coloriser par des hachures des images. Globalement cette technique fonctionne bien mais fait apparaître des artefacts dans les zones hautes-fréquences. Notre problème étant celui de traiter de coloriser des zones de teinte constante qui deviennent à teinte variable après application de l'algorithme. La littérature à ce sujet est assez riche et plusieurs algorithmes sont disponibles comme celui de Floyd et Steinberg de 1975. Nous avons choisi l'algorithme d'Atkinson datant des années 80 qui repose sur la technique de Floyd et Steinberg mais est plus rapide et donne de meilleurs résultats.

Le principe de ces algorithmes est assez simple. Pour chaque pixel codé, on attribut une valeur q_i appartenant aux valeurs de quantifications possibles $q_j, \forall j \in 1, \dots, L$ puis on garde en mémoire l'erreur entre cette valeur quantifiée q_i



Figure 4: *Sans même se donner la peine de traiter l'image par un algorithme type midway pour unifier les couleurs, on aperçoit dans l'image en haut à droite que le ciel est un dégradé qui ne prend pas en compte le ciel de l'imagette en haut à gauche. Pire encore, le phénomène de "large pixels" est encore plus accentué car on a encore moins de bits à allouer aux zones claires ! Même constat pour chacune des jonctions.*

et la véritable valeur de ce pixel. On la propage aux pixels voisins et on quantifie la valeur voisine en ajoutant l'erreur de quantification du premier pixel ce qui permet de créer des structures en damier ou des sortes de patchworks plus ou moins denses de pixels noirs et blancs pour donner l'impressions de plusieurs teintes de gris alors qu'on a que deux couleurs. Dans le cas des images couleurs, le procédé est appliqué à chacun des canaux de couleurs.

Avec cette procédure simple mais astucieuse, on arrive à gommer beaucoup des erreurs de quantifications. L'idée du procédé n'est pas étrangère à notre première approche du problème car même si nous avons pensé en terme d'histogramme au début, ajouter du bruit revient à casser la redondance des zones constantes et donc à donner un aspect plus contrasté et moins bloc de couleurs dans les zones unis, les zones hautes-fréquences ne faisant pas ressortir le grain du bruit.

Résultats

Résolution par étude de la fonction de répartition

Une approche plus en lien avec le papier expliquant la construction de la méthode de tri et d'ordonnancement est de s'intéresser à la fonction de répartition de l'image. Le code de base fournit une fonction pour obtenir un histogramme cible à partir d'une gaussienne. Dans le cas de l'image du bungalow 5, le résultat est très bon. En adaptant les bornes L et R de la fonction, on peut trouver de bons résultats pour des images dont la fonction de répartition est relativement simple (aucun point d'inflexion, allure d'une fonction de répartition d'une gaussienne, comportement très régulier...). La figure 7 illustre ce constat. Il suffit de voir le résultat sur l'image "Malta" 6 où on n'aperçoit plus du tout les "large pixels" une fois les bons paramètres L et R trouvés ($L = 0.2$, $R = 0.5$).



Figure 5: *Cas où tout se passe bien, celui de l'image de bungalow.*

Pour d'autres images où la répartition du contraste est beaucoup plus localisé en plusieurs clusters de niveaux de gris (pour l'image noir et blanc correspondant), la modélisation par une gaussienne dessinée à la main est beaucoup plus délicate comme le montre la figure 8. On remarque sur l'histogramme cumulé qu'il y a effectivement deux palliés atteints lorsqu'on tape un pic dans l'histogramme. Dans ces conditions, une approximation gaussienne est vraiment grossière. On peut imaginer alors trouver des fonctions plus compliquées qui régularisent l'histogramme cumulé pour éviter les problèmes de sauts brusques dans la répartition. Il faut toutefois ne pas trouver une fonction trop régulière car sinon on risque d'allouer des pixels trop de pixels clairs pour le fond par exemple. Dans le cas de la figure 7, le choix de la gaussienne colle assez bien à l'histogramme cumulé de la photographie de Malte ce qui explique une image de sortie assez harmonieuse.



Figure 6: *A gauche, l'image de départ, au milieu, l'image obtenue avec une gaussienne répartissant mal les pixels et à droite image obtenue avec un choix de gaussienne plus judicieux qui distribue plus de pixels dans les zones claires pour améliorer l'allure du dégradé.*

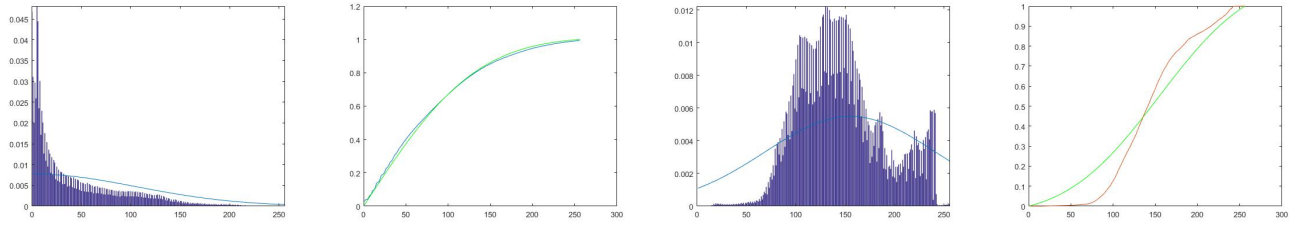


Figure 7: *A gauche, histogrammes et histogrammes cumulés pour la photo du bungalow et à droite, la même chose pour la photo de Malte. Dans le cas du bungalow, on trouve un histogramme qui permet une spécification exacte comme expliqué dans l'article. Dans le cas de Malte, on trouve un fonction approché, mais qui donne un résultat très satisfaisant.*

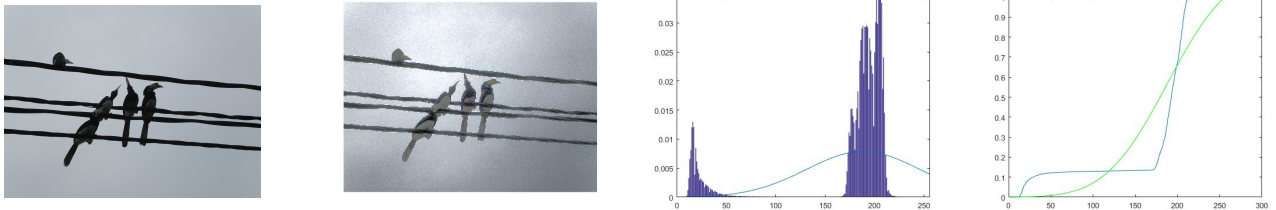


Figure 8: *De gauche à droite: l'image originale, l'image "améliorée", l'histogramme de l'image de départ et la fonction cible et les fonctions de répartition associées. On remarque que le bord supérieur droit est moins sombre dans la dernière image, conséquence de l'allocation des pixels en faveur des zones claires.*

Le but du jeu est alors de trouver des fonctions modélisant plus finement l'histogramme de départ. LA première idée est donc de trouver la meilleure fonction gaussienne générée par la routine `hsGauss.m` qui permet de coller au mieux à l'histogramme de départ tout en distribuant des pixels sur toute l'amplitude de niveaux de gris allant de 0 à 255. Il faut donc jouer sur les paramètres R et L qui définissent la gaussienne cible. On tombe sur un problème de "curve fitting" qui peut s'écrire (h désigne l'histogramme de départ et g la gaussienne obtenue par `hsGauss`):

$$\min_{(L,R)} ||h - g(L, R)||^2 \quad (1)$$

Comme L et R sont compris entre 0 et 1, on doit ajouter quatre contraintes inégalités au problème. Si on pose $u = (L, R)$, alors on a $h_1(u) = -L$, $h_2(u) = L - 1$, $h_3(u) = -R$ et $h_4(u) = R - 1$. Le problème s'écrit alors avec les

λ_i des réels positifs:

$$\min_u \|h - g(u)\|^2 + \sum_{i=1}^4 \lambda_i h_i(u) \quad (2)$$

On a réussi à poser correctement le problème sous la forme d'un problème d'optimisation quadratique sous contraintes tout ce qu'il y a de plus classique. Un tel problème peut se résoudre par la méthode d'Uzawa par exemple.